

基于ARIMA和GM模型的日最高温预测

刘 芳, 张 兵, 刘 岩, 郭 旗, 葛瑞婷

淄博市气象局, 山东 淄博

收稿日期: 2022年5月27日; 录用日期: 2022年6月19日; 发布日期: 2022年6月29日

摘要

基于差分整合移动平均自回归模型(Autoregressive Integrated Moving Average Model, ARIMA)、灰色预测模型(Gray Model, GM)、ARIMA和GM组合模型(ARIMA-GM)来预测夏季日最高温度。本文收集了某市2019~2021年6~8月日最高温数据作为实验数据。实验结果表明, GM、ARIMA-GM组合模型具有更好的预测结果。与GM模型相比, ARIMA-GM组合模型的预测结果更加稳定。

关键词

最高温度, 预测, ARIMA模型, GM模型

The Prediction of Daily Maximum Temperature Based on ARIMA and GM Models

Fang Liu, Bing Zhang, Yan Liu, Qi Guo, Ruiting Ge

Zibo Meteorological Bureau, Zibo Shandong

Received: May 27th, 2022; accepted: Jun. 19th, 2022; published: Jun. 29th, 2022

Abstract

Based on the Autoregressive Integrated Moving Average model (ARIMA), Gray Model (GM), ARIMA and GM combined models (ARIMA-GM), the daily maximum temperature in summer is predicted. This paper collects the maximum temperature data in a city from June to August in 2019~2021, and used it as experimental data. The experimental results show that the GM model and ARIMA-GM model have better prediction results. Compared with the GM model, the prediction results of the ARIMA-GM model are more stable.

Keywords

Maximum Temperature, Prediction, ARIMA Model, GM Model

Copyright © 2022 by author(s) and Hans Publishers Inc.

This work is licensed under the Creative Commons Attribution International License (CC BY 4.0).

<http://creativecommons.org/licenses/by/4.0/>



Open Access

1. 引言

天气与人们的日常生活息息相关，随着社会的进步、科技、经济的发展，其对生活中多个方面都产生了巨大的影响，特别是高温、低温、大风、暴雨、冰雹和暴雪等极端天气对农业、交通、航空、建筑等行业带来严重的经济损失，甚至对人们的生命也会产生威胁，这就对天气预报准确性有更高的要求。此外，天气预报的重要特点之一就是时效性，人们需要提前预知天气情况，并根据不同的天气做出合理的应对措施。因此，预测未来天气是气象领域的关键任务之一。

由于传输气象数据设备的不断完善、升级，其收集的数据越来越多[1]，这给预测天气技术带来了新的机遇和挑战。原始的预测方法不仅不能满足公众对天气要素预测准确率的需求，而且无法充分利用目前已收集到的气象数据。因此，面对这些挑战，许多研究者提出了新的预测方法、技术，如物理预测法[2][3]、基于统计学的方法[4][5][6][7][8]、综合预测方法[9]。其中，基于统计学的方法是采用数据统计分析方法，统计某一预测对象在某个时间内出现的频率，从而推算出未来时间段内，在相似环境条件下该对象出现的概率。

时间序列预测方法也是统计学方法中的一种。时间序列是根据时间排序的一组随机数据，时间序列预测是根据历史数据来对未来预测[10][11]。差分整合移动平均自回归模型(Autoregressive Integrated Moving Average model, ARIMA)是一个经典的时间序列预测模型[12]，该模型较为简单、灵活，在预测股票走势[13][14][15][16]、人口增长数量、区域经济 GDP 增量[17]、交通流量和气象要素等各个方面具有重要的意义。例如、Kwong 等人[5][6]利用人工神经网络(ANN)方法对风速进行了预测评估。郭[18]等使用自回归模型来预测季节的降雨量。其次，灰色预测模型(GM) [19]也是常用的预测模型之一，它可对即含有已知信息又含有不确定信息的系统进行预测。其优点就是所需历史数据少，预测越近期的数据越有效，解决了大量的生产、生活和科学的研究等方面的预测问题[20][21]。此外，为了获得更加准确的预测结果，许多学者利用 ARIMA 和 GM 的组合模型来进行预测。Wang 等[22]利用 ARIMA-GM 组合模型来预测美国页岩油产量。文献[23]、[24]利用 ARIMA-GM 组合模型分别对湖北省电力需求、PM2.5 浓度做了预测分析。ARIMA-GM 组合相对于单一的 ARIMA、GM 预测模型的最大优势，把两个单一模型组合起来降低单个模型的敏感度，从而提高预测准确率[24]。

基于以上的分析和对日常气象服务内容的总结，本文主要利用 ARIMA 模型、GM 模型及 ARIMA-GM 组合模型来预测夏季日最高温。我们收集了某市 2019~2021 年 6~8 月的每日最高温数据来生成时间序列数据集，并分别分析了 ARIMA、GM 及 ARIMA-GM 模型在该数据集上的预测效果。实验发现，GM、ARIMA-GM 具有较好的预测结果，但 ARIMA-GM 的预测结果更加稳定。

2. ARIMA 模型

2.1. ARIMA 模型组成

ARIMA 模型主要包含四部分：自回归模型(AR)、移动平均模型(MA)、自回归移动平均模型

(ARMA)和差分模型。其中ARMA模型是AR和MA模型的组合。

AR模型表示为：

$$y_t = \gamma_0 + \gamma_1 y_{t-1} + \gamma_2 y_{t-2} + \cdots + \gamma_p y_{t-p} + \varepsilon_t \quad (1)$$

其中， p 是自回归阶数，表示当前值与前 p 个历史值相关， ε_t 为误差， γ_i 为自相关系数。

MA模型表示为：

$$y_t = \theta_0 + \theta_1 \varepsilon_{t-1} + \theta_2 \varepsilon_{t-2} + \cdots + \theta_q \varepsilon_{t-q} + \varepsilon_t \quad (2)$$

其中， q 为移动平均阶数。

因此，ARMA模型可表示为：

$$y_t = \mu + \gamma_1 y_{t-1} + \gamma_2 y_{t-2} + \cdots + \gamma_p y_{t-p} + \varepsilon_t + \theta_1 \varepsilon_{t-1} + \theta_2 \varepsilon_{t-2} + \cdots + \theta_q \varepsilon_{t-q} \quad (3)$$

μ 是常数项。

2.2. 差分模型

AR模型需要历史时间序列数据具有平稳性，而现实生活中获得的数据分布是复杂且多样的，但预测未来数据需要时间序列数据具有惯性，这就要求数据具有平稳性。平稳的时间序列数据集满足其均值、协方差和方差不随时间变化而发生明显变化。为了让一个非平稳的时间序列数据呈现出平稳性，本文利用差分模型实现。给定时间序列数据 $Y^0 = \{Y_t^0, t = 1, 2, \dots, n\}$ ，差分后的时间序列 F_t 满足： $F_t = Y_t^0 - Y_{t-1}^0$ ，且 $Y_0^0 = 0$ ，该方法称为差分法。

若做一次差分，数据集仍不具备平稳性，可做多次差分，直至数据平稳。做一次差分称为一阶差分， d 次差分称作 d 阶差分。因此ARIMA模型可表示为ARIMA(p, d, q)， p, d, q 分别为AR模型、差分模型、MA模型中的参数。

2.3. ARIMA 模型过程

本小节详细描述了ARIMA预测方法的过程，如算法1所示。

算法1：ARIMA方法

Input: Historical dataset Y^0 , forecast days n ;

Output: predicted value for n days

1) $ini(Y^0) \leftarrow$ preprocessing dataset Y^0

2) d -difference method for Y^0

3) $p, q \leftarrow$ calculateACF、PACF

4) Build ARIMA(p, d, q) model

5) $Set_p \leftarrow$ ARIMA(p, d, q)

6) return Set_p

首先，剔除时间序列数据集 Y^0 中的空值、异常值，然后对 Y^0 做差分操作，使其具有平稳性(如1)、2所示)。然后，通过采用自相关函数(ACF)和偏自相关函数(PACF)来获得AR、MA模型中参数 p, q 值(如3所示)。最后，构建 ARIMA(p, d, q)模型，并输出预测值集合 Set_p (如4)~6所示)。

3. GM 模型

一阶灰色模型GM(1,1)是一阶的，且包含一个变量的灰色模型。建模步骤如下：

1) 将历史时间序列数据 $Y^0 = \{Y_t^0, t = 1, 2, \dots, n\}$ 做1次累加求和处理，获得 $Y^1 = \{Y_t^1, t = 1, 2, \dots, n\}$ ，其中

$$Y_t^1 = \sum_{i=1}^t Y_i^0, \quad t = 1, 2, \dots, n \quad (4)$$

2) 对获得的 Y^1 建立微分方程:

$$\frac{dY^1}{dt} + aY^1 = u \quad (5)$$

式中 a 、 u 为未确定参数。

3) 确定参数 a 、 u , 令:

$$B = \begin{bmatrix} -\frac{1}{2}[Y_1^1 + Y_2^1] & 1 \\ -\frac{1}{2}[Y_2^1 + Y_3^1] & 1 \\ \vdots & \vdots \\ -\frac{1}{2}[Y_{t-1}^1 + Y_t^1] & 1 \end{bmatrix}, \quad X = \begin{bmatrix} Y_2^0 \\ Y_3^0 \\ \vdots \\ Y_t^0 \end{bmatrix}$$

利用最小二乘法估计 a 、 u 值:

$$[a \quad u]^T = (B^T B)^{-1} B^T X \quad (6)$$

根据公式(6)获得参数 a 、 u 值, a 是控制模型发展态势, 称为发展系数; u 的数值大小反应数据变化的关系, 称作灰色作用量。

4) 通过解微分方程(5), 可得 GM(1,1) 预测模型为:

$$\widehat{Y}_t^1 = \left(Y_1^0 - \frac{u}{a} \right) e^{-a(t-1)} + \frac{u}{a} \quad (7)$$

$$\widehat{Y}_t^0 = \widehat{Y}_t^1 - \widehat{Y}_{t-1}^1 \quad (8)$$

式(8)中, $t = 1, 2, \dots, n$, 且令 $Y_0^1 = 0$ 。根据式(8)获得最终的预测值 $\widehat{Y}^0 = \{\widehat{Y}_t^0, t = 1, 2, \dots, n\}$ 。

接下来, 给出了 GM 预测方法的伪代码, 如算法 2 所示。

算法 2: GM 方法

Input: Historical dataset Y^0 , forecast days n ;

Output: predicted value for n days

1) $ini(Y^0) \leftarrow$ preprocessing dataset Y^0

2) $Y^1 \leftarrow$ accumulate(Y^0)

3) $creatDiffEquation(Y^1)$

4) a 、 $u \leftarrow$ obtain by the ordinary least squares

5) $Set_{preGM} \leftarrow$ CalDiffEquation(Y^0, Y^1)

6) $return Set_{preGM}$

首先预处理数据集 Y^0 , 并对处理后的 Y^0 中每个数据对象按照公式(4)做累加处理(1)、2 所示)。其次, 创建微分方程并利用最小二乘法估计获得微分方程中的参数值 a 、 u (3)、4 所示)。最后, 把 a 、 u 值代入微分方程, 据公式(7)、(8)获得预测值(5)、6 所示)。

4. ARIMA-GM 模型

ARIMA 和 GM 组合模型是按照不同权重, 对两者进行组合, 表示为:

$$x_t = w_1 m_1 + w_2 m_2$$

其中, x_t 为预测值, w_1 、 w_2 分别为 ARIMA、GM 模型权重, m_1 、 m_2 分别为 ARIMA、GM 的预测值。

本文通过利用差分倒数法来确定权重 w_1 、 w_2 值, 即 $w_i = (1/s_i) \sum_{i=1}^k (1/s_i)$, s_i 为第 i 个模型的误差平方和, k 为模型个数。

本文因为关注于预测夏季(6、7、8月)的日最高温度, 且每个月份的日最高温数据差异比较大, 因此本文在预测过程中, 针对每个月份分别求出一组权重值, 来确保预测的数据结果更加准确。下面给出 ARIMA-GM 模型的详细过程:

算法3: ARIMA-GM 预测模型

Input: Historical dataset Y^0 , forecast days n ;

Output: predicted value for n days

1) $ini(Y^0) \leftarrow$ preprocessing dataset Y^0

2) $Set_{preA} \leftarrow$ predict by ARIMA(p, d, q) model

3) $Set_{preGM} \leftarrow$ predict by GM(1,1) model

4) $w_1, w_2 \leftarrow$ obtain by the reciprocal variance method

5) $Set_{pre} = w_1 * Set_{preA} + w_2 * Set_{preGM}$

6) $return Set_{pre}$

首先, 预处理数据集 Y^0 , 并分别利用 ARIMA(p, d, q)、GM(1,1) 进行预测(如1)~3所示)。然后, 利用差分倒数法获得 ARIMA(p, d, q)、GM(1,1) 的预测权重, 根据所得权重分别对 ARIMA、GM 预测结果进行加权计算, 获得最终的预测结果(4)~6所示)。

5. 实验评估

本文主要采集了某市 2019~2021 年 6、7、8 月的日最高气温作为实验数据集。本文利用每个月份 70% 的数据作为训练数据, 30% 的数据作为验证数据来评估所用模型的有效性。

预测有效性评估

本小节主要利用平均绝对误差(Mean Absolute Error, MAE)来评估 ARIMA 模型、GM 模型和 ARIMA-GM 模型的预测有效性。

平均绝对误差(Mean Absolute Error, MAE)表示为:

$$MAE = \frac{1}{n} * \sum_{i=1}^n |y_i - \hat{y}_i| \quad (9)$$

其中, y_i 是真实值, \hat{y}_i 为预测值, n 为预测天数。MAE 值越小, 表示预测值与真实值越相近, 误差越小。相反, MAE 值越大, 表示预测值与真实值相差越大, 误差越大。

Table 1. The mean of the mean absolute errors of the different forecasting models

表 1. 不同预测模型的平均绝对误差均值

	ARIMA	GM	ARIMA_GM
2019~2021.06	1.150	0.770	0.751
2019~2021.07	1.636	1.207	1.166
2020~2022.08	0.869	0.680	0.655

图 1 展示了 ARIMA、GM、ARIMA-GM 模型预测 2019~2021 年 6、7、8 月日最高温的绝对误差值。表 1 展示了 ARIMA、GM、ARIMA-GM 模型预测这三年(2019~2021 年)6、7、8 月，每月的绝对误差值和的均值。通过图 1 和表 1 可知，ARIMA 的绝对误差最大，预测效果最不佳，最低平均误差为 0.869。而 GM、ARIMA-GM 误差值相近，但是从表 1 可知，ARIMA-GM 预测 2019~2021 年 6 月的平均绝对误差和的均值小于 GM 预测 2019~2021 年 6 月的平均绝对误差和的均值。同样，ARIMA-GM 预测 2019~2021 年 7、8 月的平均绝对误差和的均值也小于 GM 预测 2019~2021 年 7、8 月的平均绝对误差和的均值。因此，ARIMA-GM 的预测效果比 GM 的预测效果更加稳定。

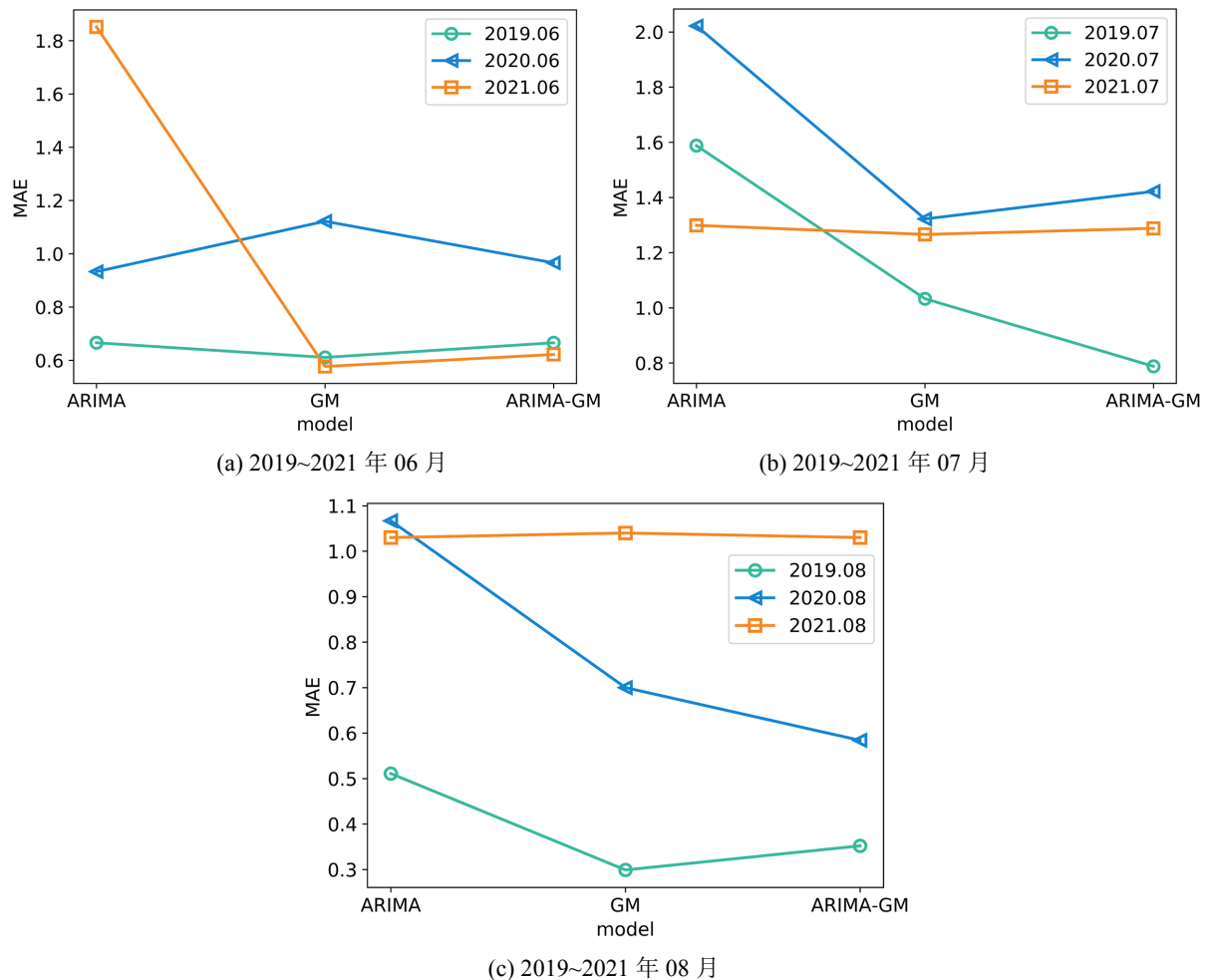


Figure 1. Mean absolute errors of ARIMA, GM, ARIMA-GM models
图 1. ARIMA、GM、ARIMA-GM 模型平均绝对误差值

6. 总结

本文利用 ARIMA、GM、ARIMA-GM 模型对某市 2019~2021 年 6~8 月日最高温进行了预测、分析。实验表明，ARIMA 模型预测的平均绝对误差比 GM、ARIMA-GM 模型的大，而 GM 和 ARIMA-GM 模型的误差值比较接近，且相对较小，但 ARIMA-GM 组合模型具有更加稳定的预测效果。因此，在实际生活中，可以采用 GM 或 ARIMA-GM 组合模型来对夏季每日的最高温提前预测，从而减少甚至避免因为高温对公众、各部门造成的损失。

基金项目

淄博市气象局气象科研项目(2022zbqx07)。

参考文献

- [1] Overpeck, J.T., Meehl, G.A., Bony, S., *et al.* (2011) Climate Data Challenges in the 21st Century. *Science*, **331**, 700-702. <https://doi.org/10.1126/science.1197869>
- [2] 曾庆存. 大气运动的特征参数和动力学方程[J]. 气象学报, 1963, 33(4): 64-75.
- [3] 曾庆存. 大气中的适应过程和发展过程(一)——物理分析和线性理论[J]. 气象学报, 1963, 33(2): 35-46.
- [4] 段文广, 周晓军, 石永炜. 数据挖掘技术在精细化温度预报中的应用[J]. 干旱气象, 2012, 30(1): 130-135.
- [5] Kwong, K.M., Wong, M.H.Y., Liu, J.N.K., *et al.* (2012) An Artificial Neural Network with Chaotic Oscillator for Wind Shear Alerting. *Journal of Atmospheric and Oceanic Technology*, **29**, 1518-1531. <https://doi.org/10.1175/2011JTECHA1501.1>
- [6] Liu, J.N.K., Kwong, K.M. and Chan, P.W. (2012) Chaotic oscillatory-Based Neural Network for Wind Shear and Turbulence Forecast with LiDAR Data. *IEEE Transactions on Systems, Man, and Cybernetics, Part C (Applications and Reviews)*, **42**, 1412-1423. <https://doi.org/10.1109/TSMCC.2012.2188284>
- [7] Chen, S.M. and Hwang, J.R. (2000) Temperature Prediction Using Fuzzy Time Series. *IEEE Transactions on Systems, Man, and Cybernetics, Part B (Cybernetics)*, **30**, 263-275. <https://doi.org/10.1109/3477.836375>
- [8] Chen, S.M. and Tanuwijaya, K. (2011) Multivariate Fuzzy Forecasting Based on Fuzzy Time Series and Automatic Clustering Techniques. *Expert Systems with Applications*, **38**, 10594-10605. <https://doi.org/10.1016/j.eswa.2011.02.098>
- [9] 路志英, 赵智超, 郝为, 等. 基于人工神经网络的多模型综合预报方法[J]. 计算机应用, 2004, 24(4): 50-51, 88.
- [10] 何书元. 应用时间序列分析[M]. 北京: 北京大学出版社, 2003.
- [11] 杨海民, 潘志松, 白玮. 时间序列预测方法综述[J]. 计算机科学, 2019, 46(1): 21-28.
- [12] Box, G.E.P. and Pierce, D.A. (1970) Distribution of Residual Autocorrelations in Autoregressive-Integrated Moving Average Time Series Models. *Journal of the American Statistical Association*, **65**, 1509-1526. <https://doi.org/10.1080/01621459.1970.10481180>
- [13] Ariyo, A.A., Adewumi, A.O. and Ayo, C.K. (2014) Stock Price Prediction Using the ARIMA Model. 2014 UKSim-AMSS 16th International Conference on Computer Modelling and Simulation, Cambridge, UK, 26-28 March 2014, 106-112. <https://doi.org/10.1109/UKSim.2014.67>
- [14] Mondal, P., Shit, L. and Goswami, S. (2014) Study of Effectiveness of Time Series Modeling (ARIMA) in Forecasting Stock Prices. *International Journal of Computer Science, Engineering and Applications*, **4**, 13. <https://doi.org/10.5121/ijcsea.2014.4202>
- [15] Siami-Namini, S. and Namin, A.S. (2018) Forecasting Economics and Financial Time Series: ARIMA vs. LSTM. arXiv preprint arXiv:1803.06386.
- [16] Wabomba, M.S., Mutwiri, M.P. and Fredrick, M. (2016) Modeling and Forecasting Kenyan GDP Using Autoregressive Integrated Moving Average (ARIMA) Models. *Science Journal of Applied Mathematics and Statistics*, **4**, 64-73. <https://doi.org/10.11648/j.sjams.20160402.18>
- [17] 王鄂, 张霆. 时间序列在湖南省 GDP 预测中的应用——基于 ARIMA 模型[J]. 青岛大学学报: 自然科学版, 2019, 32(3): 136-140.
- [18] 郭化文, 尹爱芹. 时间序列分析预测法在气象上的应用[J]. 泰安师专学报, 2002(6): 1-5.
- [19] 邓聚龙. 灰色预测与决策[M]. 武汉: 华中理工大学出版社, 1988.
- [20] 杨国华, 颜艳, 杨慧中. GM(1,1)灰色预测模型的改进与应用[J]. 南京理工大学学报, 2020, 44(5): 69-76.
- [21] 许泽东, 柳福祥. 灰色 GM(1,1)模型优化研究进展综述[J]. 计算机科学, 2016, 43(S2): 6-10.
- [22] Wang, Q., Song, X.X. and Li, R.R. (2018) A Novel Hybridization of Nonlinear Grey Model and Linear ARIMA Residual Correction for Forecasting US Shale Oil Production. *Energy*, **165**, 1320-1331. <https://doi.org/10.1016/j.energy.2018.10.032>
- [23] 王莉琳, 张维, 赖敏, 等. 基于 ARIMA-GM 组合模型的湖北省电力需求预测研究[J]. 中国农村水利水电, 2013(4): 101-105.
- [24] 徐辉军, 张林男. 基于 GM-ARMA 组合模型的 PM2.5 浓度预测——以扬州市为例[J]. 南通职业大学学报, 2018, 32(4): 67-71.